

THESIS / THÈSE

MASTER EN BIOCHIMIE ET BIOLOGIE MOLÉCULAIRE ET CELLULAIRE

Etude de l'application du monoxyde d'azote dans la néphropathie aux acides aristolochiques dans un modèle murin

Martin, Blanche

Award date:
2014

Awarding institution:
Université de Namur

[Link to publication](#)

General rights

Copyright and moral rights for the publications made accessible in the public portal are retained by the authors and/or other copyright owners and it is a condition of accessing publications that users recognise and abide by the legal requirements associated with these rights.

- Users may download and print one copy of any publication from the public portal for the purpose of private study or research.
- You may not further distribute the material or use it for any profit-making activity or commercial gain
- You may freely distribute the URL identifying the publication in the public portal ?

Take down policy

If you believe that this document breaches copyright please contact us providing details, and we will remove access to the work immediately and investigate your claim.

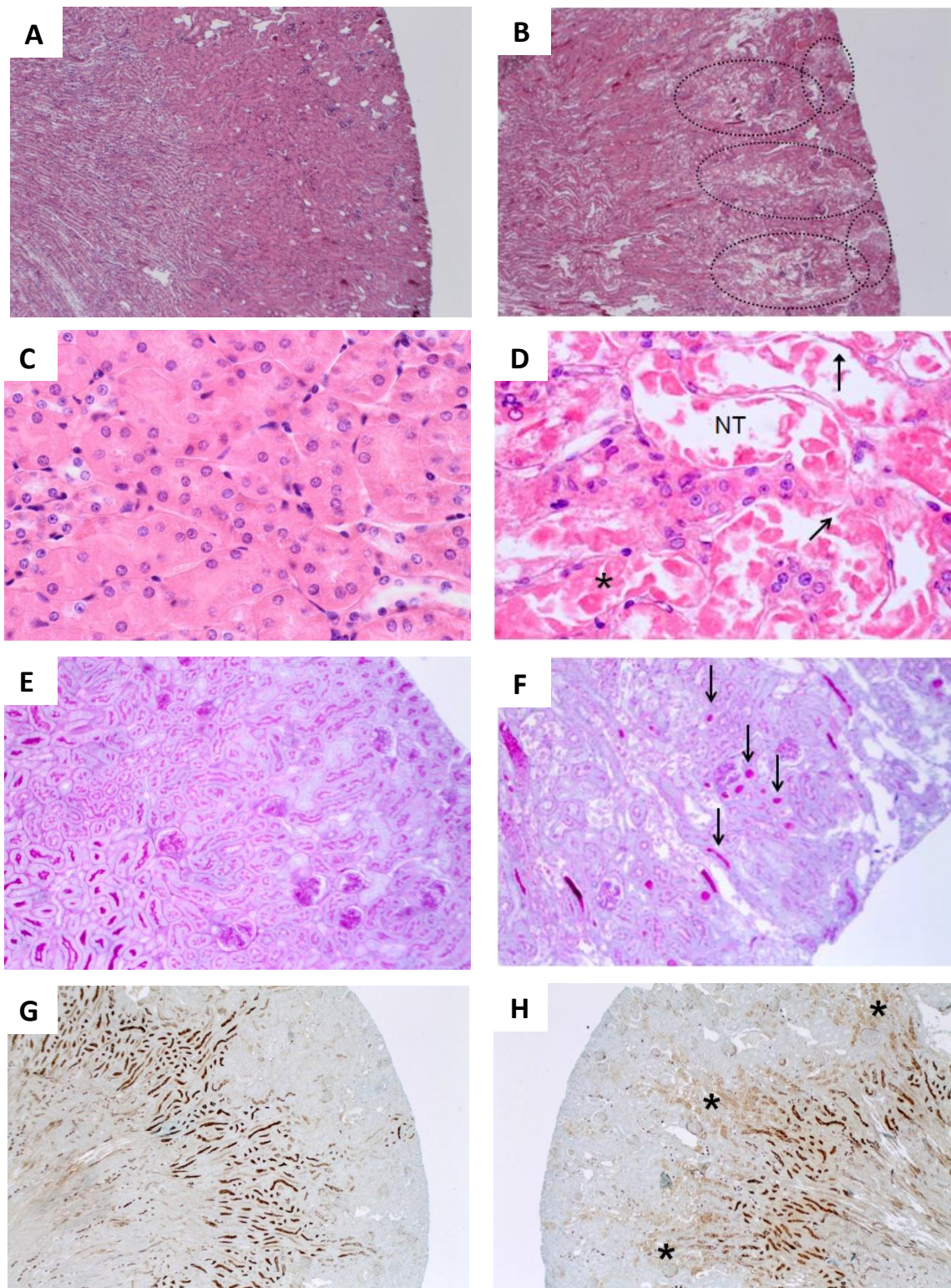


Figure 15 : A-B) Coloration hématoxyline-éosine du tissu rénal du groupe contrôle (A) et des souris traitées aux AA (B) au jour 12. Les cercles en pointillés représentent les aires de nécroses. Grossissement 40x.
 C-D) Coloration hématoxyline-éosine du tissu rénal du groupe contrôle (C) et des souris traitées aux AA (D). Identification des tubules nécrotiques (NT), détachement (→) et rupture (↗) de la membrane basale et accumulation de débris cellulaires dans la lumière des tubules (*). Grossissement 40x.
 E-F) Coloration PAS du tissu rénal des groupes contrôle (E) et AA (F). Le PAS montre la présence de casts d'hyaline (congestion de la lumière tubulaire) (→). Grossissement 100x.
 G-H) Immunomarquage de la NEP sur le tissu rénal, suivie par une coloration au bleu de Luxol dans le groupe Contrôle (G) et dans le groupe AA (H). Les aires de nécroses dans lesquelles l'expression de la NEP est réduite (*). Grossissement 40x.

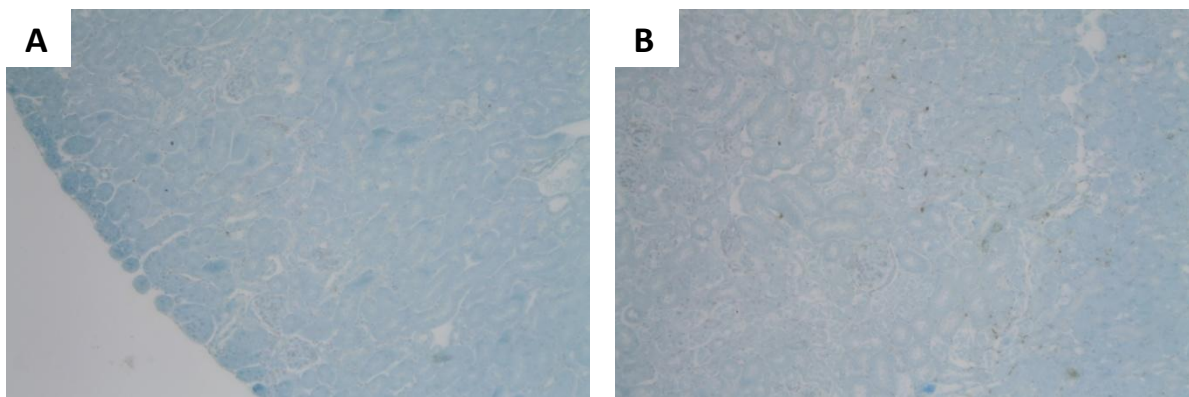


Figure 18 : A) Immunomarquage PCNA suivi d'une coloration au bleu de Luxol sur le tissu rénal de souris du groupe Contrôle. Grossissement 100x.
B) Immunomarquage PCNA suivi d'une coloration au bleu de Luxol sur le tissu rénal de souris du groupe AA. Grossissement 100x.

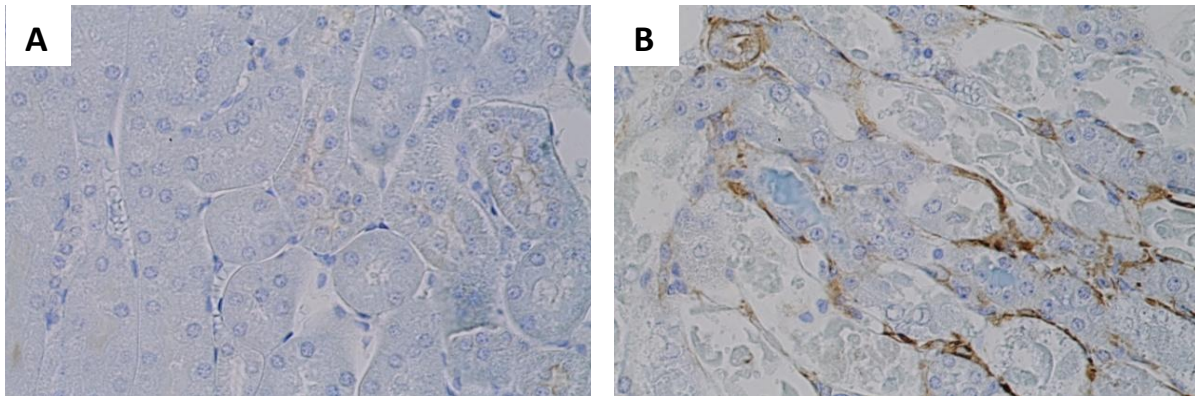


Figure 20 : A) Immunomarquage α -SMA suivi d'une coloration au bleu de Luxol sur le tissu rénal de souris du groupe Contrôle. Grossissement 400x.
B) Immunomarquage α -SMA suivi d'une coloration au bleu de Luxol sur le tissu rénal de souris du groupe AA. Grossissement 400x.

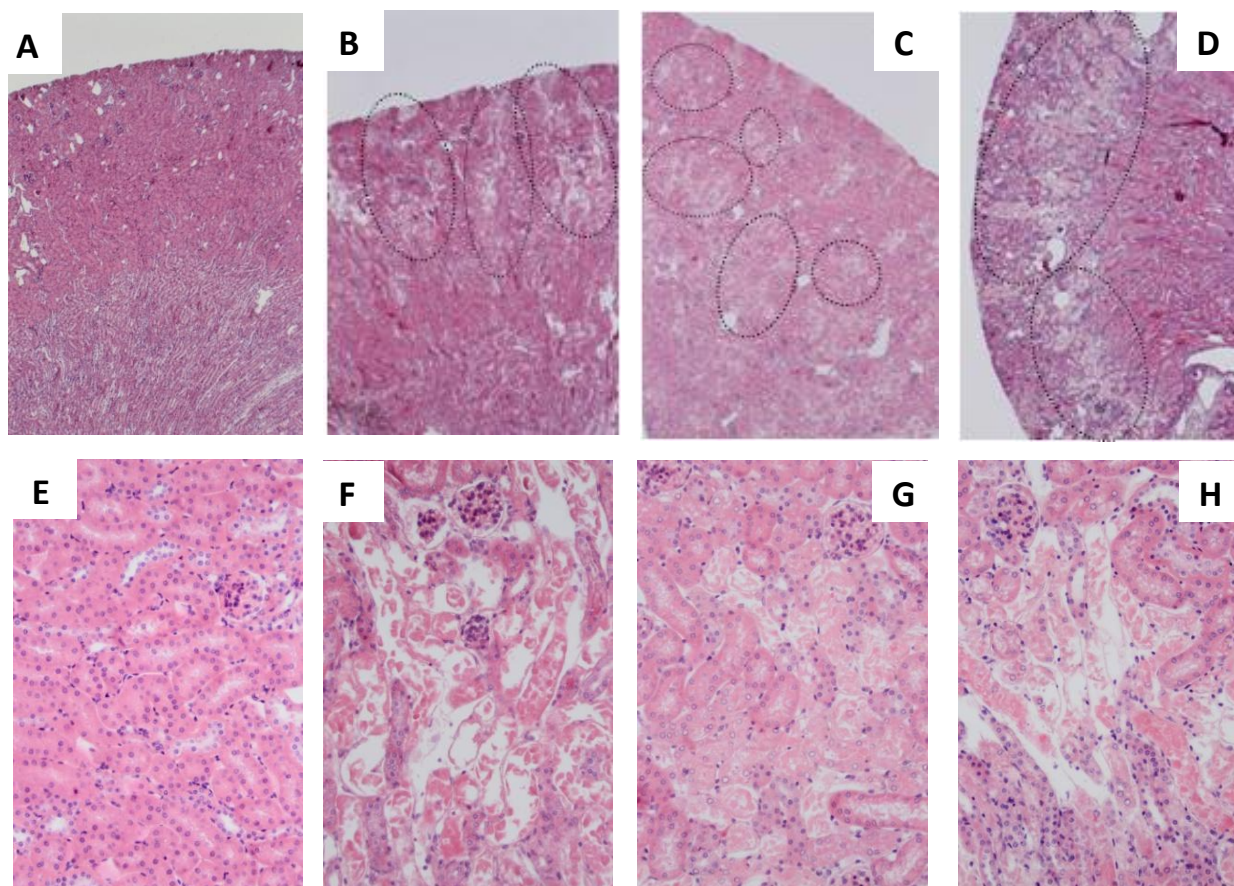


Figure 24: A-B-C-D) Coloration à l'hématoxyline-éosine du tissu rénal de souris contrôles (C), AA (D), AA + L-Arg (E) et AA + L-Nil (D). Les cercles en pointillés représentent les zones de nécroses. Grossissement 40x. E-F-G-H) Coloration hématoxyline-éosine du tissu rénal de souris contrôles (E), AA (F), AA + L-Arg (G) et AA + L-Nil (H). Grossissement 200x.

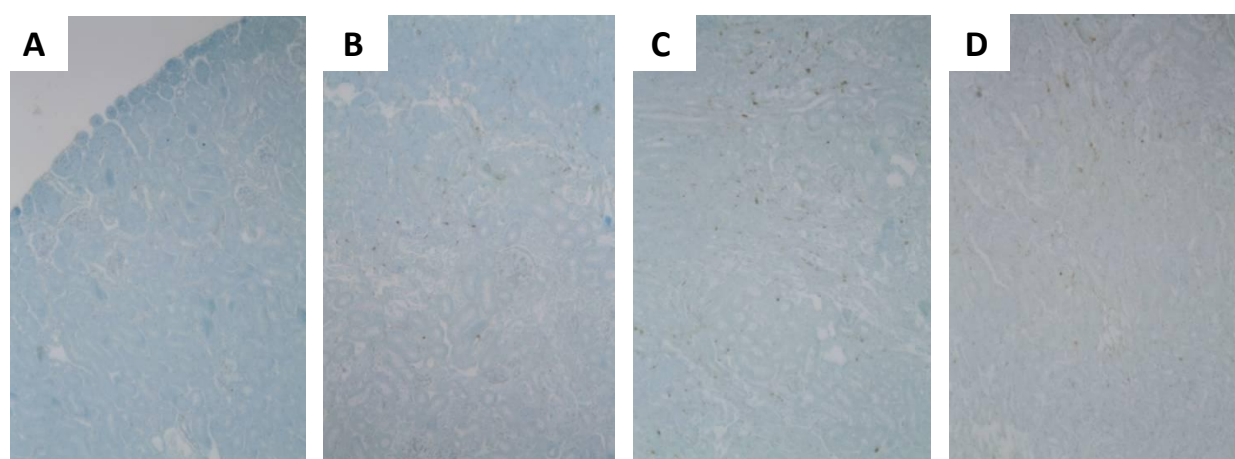


Figure 26 : A-B-C-D) Immunomarquage PCNA du tissu rénal, suivi par une coloration au bleu de Luxol dans le groupe Contrôle (A), AA (B), AA + L-Arg (C) et AA + L-Nil (D). Grossissement 100x.

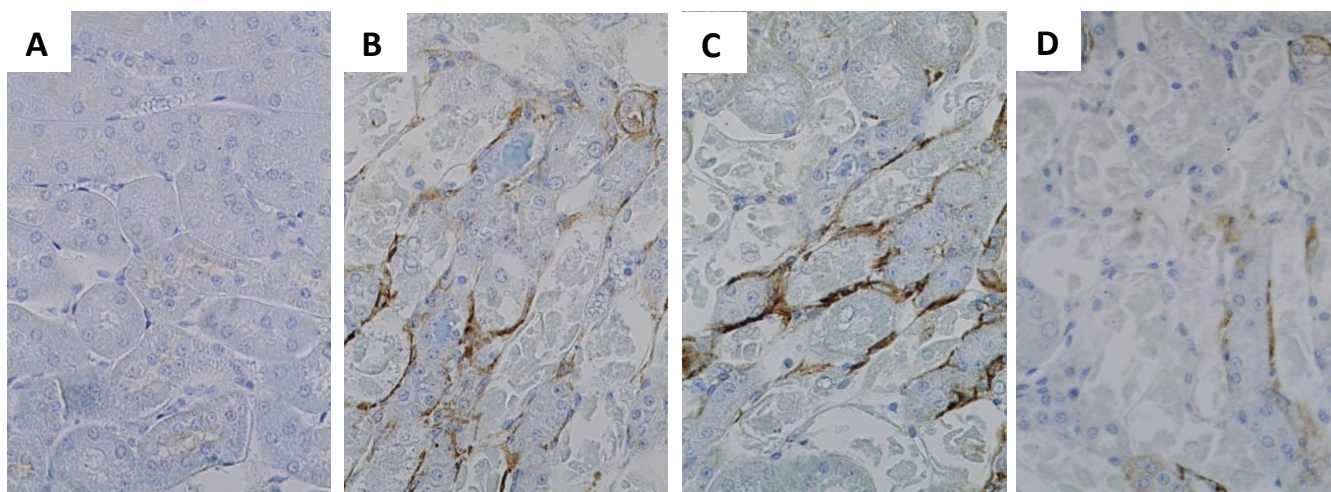


Figure 28: A-B-C-D) Immunomarquage α -SMA suivi d'une coloration au bleu de Luxol sur le tissu r nal de souris du groupe Contr le (A), AA (B), AA + L-Arg (C) et AA + L-Nil (D). Grossissement 400x.

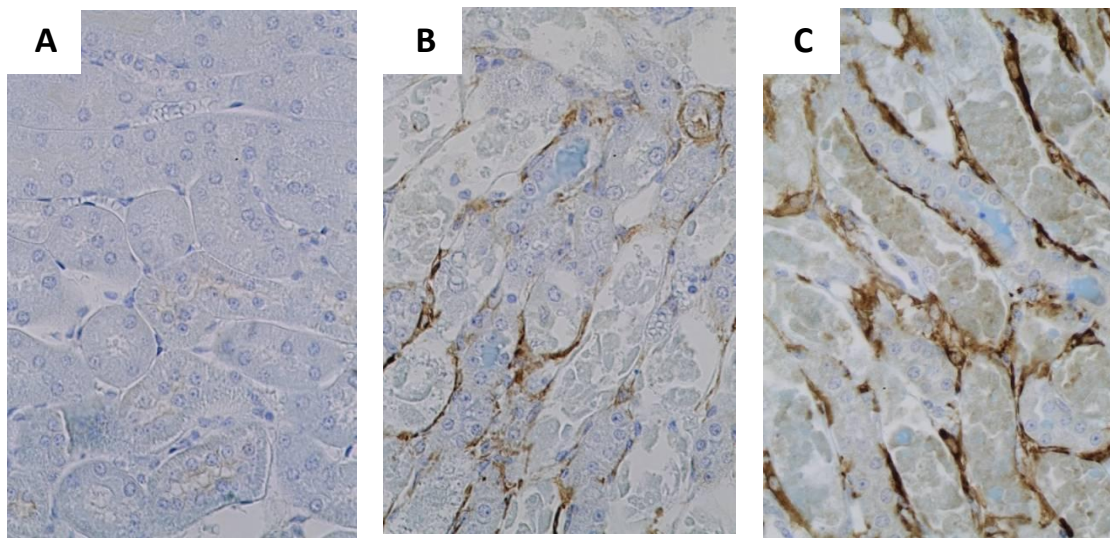


Figure 33 : A-B-C) Immunomarquage α -SMA suivi d'une coloration au bleu de Luxol sur le tissu r nal de souris du groupe Contr le (A), AA (B), AA + AICAR (C). Grossissement 400x.